

Результаты определения плотности мюонным методом

Характеристика пород	H_{Φ} , м	I , имп/мин	H , м. в. э.	$\sigma_{\text{сред}}$, э/см^3	ΔH_{Φ} , м	$\sigma'_{\text{сл}}$, э/см^3	$\sigma''_{\text{сл}}$, э/см^3
Обломочные породы	1	$90,9 \pm 2,7$	1,50	$1,50 \pm 0,05$	0—1	$1,50 \pm 0,05$	$1,57 \pm 0,06$
	2	$77,3 \pm 2,8$	3,10	$1,55 \pm 0,06$	1—2	$1,60 \pm 0,08$	
	3	$67,8 \pm 2,6$	4,70	$1,57 \pm 0,06$	2—3	$1,60 \pm 0,08$	
Мелко- и крупнозернистый песок	5	$53,2 \pm 1,9$	8,00	$1,60 \pm 0,06$	3—5	$1,65 \pm 1,08$	$1,65 \pm 0,08$
	7	$44,7 \pm 1,7$	11,30	$1,62 \pm 0,06$	5—7	$1,65 \pm 0,09$	
Гравелиты, алевролиты	10	$33,0 \pm 1,5$	16,50	$1,65 \pm 0,07$	7—10	$1,73 \pm 0,09$	$1,87 \pm 0,06$
	12	$27,3 \pm 1,4$	20,0	$1,67 \pm 0,08$	10—12	$1,75 \pm 0,10$	
	17	$18,0 \pm 0,2$	30,0	$1,76 \pm 0,01$	12—17	$2,00 \pm 0,08$	
Обломочные породы	1	$68,7 \pm 2,03$	1,20	$1,20 \pm 0,04$	0—1	$1,20 \pm 0,04$	$1,20 \pm 0,04$
Супесь с глиной, выветрелые гравелиты	2,70	$55,4 \pm 1,80$	3,50	$1,30 \pm 0,04$	1—2,7	$1,35 \pm 0,05$	$1,70 \pm 0,18$
	4,70	$40,6 \pm 2,90$	7,50	$1,60 \pm 0,11$	2,7—4,7	$2,00 \pm 0,12$	
Гравелиты	11,0	$17,5 \pm 0,6$	22,5	$2,05 \pm 0,07$	4,7—11,0	$2,38 \pm 0,07$	$2,51 \pm 0,15$
	15,0	$12,0 \pm 0,6$	32,3	$2,15 \pm 0,10$	11,0—15,0	$2,45 \pm 0,12$	
	21,0	$7,4 \pm 0,34$	48,0	$2,28 \pm 0,10$	15,0—21,0	$2,62 \pm 0,14$	
	27,0	$5,2 \pm 0,24$	63,5	$2,35 \pm 0,11$	21,0—27,0	$2,59 \pm 0,15$	

Проведенные исследования доказали возможность применения мюонного метода для определения плотности песчано-глинистых, обломочных и трещиноватых скальных пород, обладающих повышенной радиоактивностью.

Поступило в Редакцию 30/VII 1973 г.
В окончательной редакции 3/X 1973 г.

СПИСОК ЛИТЕРАТУРЫ

- Бондаренко В. М. и др. «Бюлл. изобрет. и товарн. знаков», 1962, № 12.
- Бондаренко В. М. Использование космических лучей в геологии. М., «Недра», 1965.

Учет фона при определении стоимости физических исследований на реакторах

ПЕТРОВ Ю. В.

В работе [1] поставлен вопрос о необходимости учета фона в характеристиках нейтронного потока реакторов, предназначенных для физических исследований. Ниже показано, каким образом фон может быть включен в стоимость исследований.

1. Исследовательский реактор можно рассматривать как информационную фабрику, производящую события в экспериментальной аппаратуре [2]. Если интересующие нас события в мишени линейно зависят от нейтронного потока, то их интенсивность в единицу времени в детекторе равна $I_e = \beta_{en} \langle \sigma_e \Phi_e \rangle$, где σ_e — микроскопическое сечение регистрируемого эффекта; β_e — эффективность регистрации эффекта детектором; n — полное число атомов мишени; Φ_e — нейтронный поток. Скобки $\langle \rangle$ означают усреднение по энергиям нейтронов и объему мишени. Напомним, что для малых по размерам (по сравнению с длинами диффузии и замедления) мишеней и каналов величина I_e пропорциональна исходному невозмущенному потоку нейтронов [2]*.

* Пропорциональность сохранится и для малых черных образцов, когда исходный поток в месте расположения мишени возмущен сильно, вопреки неточному утверждению в работе [3].

Если в детекторе присутствует заметный фон с интенсивностью I_b , то обычно в течение времени T_e набирается число событий эффекта и фона, равное $N_{e+b} = (I_e + I_b) T_e$, а затем в течение времени T_b измеряется только фон $N_b = I_b T_b$, причем значение I_e определяется как разность соответствующих N/T , а ошибка $(\Delta I_e)^2$ состоит из ошибок измерений N_{e+b} и N_b . Если последняя носит чисто статистический характер, то, как известно:

$$\frac{[(\Delta I_e)^2]}{I_e} = \frac{1}{\sqrt{I_e T_e}} \sqrt{1 + \frac{I_b (T_e + T_b)}{I_e T_b}}. \quad (1)$$

При большом фоне для уменьшения ошибок, связанных с нестабильной работой измерительной аппаратуры, экспериментаторы предпочитают работать короткими циклами. Обозначив время цикла τ , время измерения эффекта + фон и только фона соответственно t_e и t_b , получим связь между текущим (календарным) временем t и T_e , T_b : $T_e = t \tau_e / \tau$, $T_b = t \tau_b / \tau$. В общем случае $t_e + t_b \neq t$, так как часть времени цикла может быть потрачена на переключение аппаратуры.

Если принять, что статистический вес измеряемой величины (например, σ_e) по сравнению с измерениями

той же величины в других экспериментах обратно пропорционален квадрату относительной ошибки, то производительность π , т. е. количество информации в единицу времени, может быть определена выражением [2]

$$\pi \equiv \frac{d}{dt} \left[\frac{I_e^2}{(\Delta I_e)^2} \right] = I_e \frac{\tau_e}{\tau} \left[1 + \frac{I_b (\tau_e + \tau_b)}{I_e \tau_b} \right]^{-1}. \quad (2)$$

Поскольку на рассматриваемом реакторе одновременно проводится несколько разнородных экспериментов, то полная производительность реактора $\Pi = \sum_i \omega_i \pi_i$, где ω_i — коэффициенты, учитывающие важность того или иного эксперимента с точки зрения ценности полученной информации. К сожалению, из-за отсутствия строгого определения ценности коэффициентов ω_i расставляются методом экспертных оценок. В простейшем случае $\omega_i = 1$. Средняя по времени полная себестоимость единицы информации s связана с затратами \bar{C} на ее получение в единицу времени таким образом [1—3]:

$$s = \frac{\bar{C}}{\Pi}. \quad (3)$$

Здесь в \bar{C} входят как затраты на проведение экспериментов, так и реакторные затраты.

2. Оптимальная доля времени η , потраченная на измерение эффекта, как следует из формулы (2), определяется выражением

$$\eta \equiv \frac{\tau_e}{\tau_e + \tau_b} = 1 + \frac{I_b}{I_e} - \frac{I_b}{I_e} \left(1 + \frac{I_e}{I_b} \right)^{1/2}. \quad (4)$$

При малом уровне фона ($I_b \ll I_e$) $\eta \approx 1 - \sqrt{I_b/I_e}$ ($\tau_e \approx \tau$) и, согласно (2), $\pi \approx I_e$. Именно этот случай подробно разобран в работах [1—3], где установлена связь между s и такими параметрами реактора, как мощность, нейтронный поток, выгорание и пр.

Если $I_b \gg I_e$, то из формулы (4) следует, что $\tau_e \approx \tau_b$ ($\eta \approx \frac{1}{2} + \frac{1}{4} \cdot \frac{I_e}{I_b}$) и производительность, согласно формуле (2), примерно квадратично зависит от интенсивности эффекта:

$$\pi \approx \frac{I_e^2 (\tau_e + \tau_b)}{4 I_b \tau}. \quad (5)$$

Фон в детекторе, т. е. I_b , складывается из естественного фона I_{nb} , не связанного с реактором, и реакторного фона $I_{rb} = \beta_{rb} n \langle \sigma_b \Phi_b \rangle$ (сечение σ_b , эффективность детектора β_{rb} и поток Φ_b относятся к фону). В условиях, когда реакторный фон является определяющим, отношение I_{rb}/I_e в формулах (2) и (5) пропорционально отношению Φ_b/Φ_e . Последнее может быть значительно уменьшено с помощью специальных экспериментальных устройств. Так, например, применение нейtronоводов, использующих эффект полного внутреннего отражения, позволяет увести нейтронный поток из зоны прямой видимости и сократить на несколько порядков величину Φ_b при незначительном уменьшении Φ_e . Если существенным является фон γ -квантов ($\Phi_b = \Phi_\gamma$), то защита от них может дать заметный выигрыш в π даже при некотором уменьшении Φ_e . Другой способ улучшения отношения Φ_b/Φ_e — использование техники времени пролета в сочетании с импульсным режимом

работы реактора. Все эти мероприятия позволяют во много раз повысить производительность отдельных экспериментальных установок без существенного увеличения затрат и, следовательно, сократить себестоимость информации s .

3. Примером такой ситуации, когда главную роль играет естественный фон I_{nb} , являются опыты по поиску рассеяния реакторных антинейтрино на электронах. В этом случае фон от космического излучения и естественной радиоактивности материалов детектора пре-вышает эффект от рассеяния антинейтрино, возникающих из осколков деления [4]. Авторы работ [5, 6] предлагают использовать в подобной ситуации импульсный реактор с относительно невысокой средней мощностью. Пусть реактор со средней за время τ мощностью \bar{P} производит в детекторе в единицу времени \bar{I}_e отсчетов. Если та же энергия $\bar{P}\tau$ выделяется за время τ_1 , которое намного меньше τ_e , то эквивалентная по антинейтрино интенсивность сигнала I_e возрастет и будет равна $I_e = \bar{I}_e \varphi(\tau_e) \tau / \tau_e$, где $\varphi(\tau_e)$ — доля антинейтрино, зарегистрированных за время τ_e . Согласно (2), производительность реактора составит $\pi \approx \bar{I}_e^2 \varphi^2(\tau_e) \tau / I_{nb} \tau_e \times (I_{nb} > I_e)$. Если принять $\tau = 0,1$ суток и $\tau_e = 10$ сек (при этом $\varphi(\tau_e)$ в зависимости от нижнего порога регистрации электронов отдачи изменяется в пределах 0,25—0,5 [7]), то в момент измерения выигрыш в интенсивности эффекта составит 220—440 раз, а производительность по сравнению со стационарным реактором той же мощности повысится в 220—880 раз.

Реальную среднюю мощность импульсных реакторов можно довести до 50—100 МВт. Благодаря квадратичной зависимости π от нейтринного потока переход к стационарным реакторам большей мощности может оказаться выгодным. Так, например, мощность проектируемых реакторов для АЭС должна быть равной 3000—6000 МВт [8]. Если на таком реакторе установить оптимальную защиту импульсного реактора, то геометрические факторы окажутся близкими по величине и поток антинейтрино Φ_b на расстоянии 6—7 м от центра активной зоны превысит $10^{14} \text{ н} \cdot \text{см}^{-2} \cdot \text{сек}^{-1}$. Эта величина в пять раз больше полученной в опытах Райнса на промышленном реакторе [4] и в 50 раз выше, чем для реактора с эквивалентной средней мощностью $\bar{P} = 70$ МВт. Производительность в опытах на реакторах АЭС по сравнению с последним увеличивается в 2500 раз.

Поскольку реактор АЭС часто выключать нельзя, то для сокращения времени, необходимого для поддержания стабильности счета аппаратуры, можно периодически откликаться детектор на расстояние порядка 15 м. При этом Φ_b падает на порядок, а фон от естественной радиоактивности и космический фон при надлежащей защите экспериментального зала не изменяется. Конечно, последнее обстоятельство должно быть проверено в нулевом эксперименте при остановленном реакторе. Весь цикл измерений можно провести за $\tau = 100$ сек ($\tau_e = \tau_b = 40$ сек и 20 сек на перемещение детектора).

Таким образом, хотя по интенсивности I_e в момент измерения опыты на АЭС оказываются в 4,4—9 раз хуже, чем на импульсном реакторе, производительность в первом случае в 11—3 раза выше и время набора той же статистической точности во столько же раз меньше. Происходит это благодаря большому мертвому времени импульсного реактора. При $\tau_e = 10$ сек и десяти вспышках в сутки время измерения

эффекта на импульсном реакторе составляет 100 сек/сумку.

В опытах на АЭС оно в 350 раз больше. Величина s в опытах на АЭС падает еще больше, чем растет производительность, так как из \bar{C} в формуле (3) следует исключить затраты на сооружение и эксплуатацию реактора, поскольку они уже входят в стоимость электроэнергии.

Автор глубоко благодарен В. М. Лобашову и О. И. Сумбаеву за плодотворное обсуждение последнего раздела работы.

Поступило в Редакцию 12/IX 1973 г.

СПИСОК ЛИТЕРАТУРЫ

- Бать Г. А., Коченов А. С., Кабанов Л. П. Исследовательские ядерные реакторы. М., Атомиздат, 1972.
- Ерыкалов А. Н., Петров Ю. В. «Атомная энергия», 1968, т. 25, с. 52.
- Цыканов В. А. «Атомная энергия», 1971, т. 31, с. 15.
- Gurr H. e. a. «Phys. Rev. Letters», v. 28, p. 1406.
- Фейнберг С. М., Шевелев Я. В. II Женевская конф. 1964, доклад СССР № 28-Р-322.
- Микаэлян Л. А., Спивак П. Е., Циноев В. Г. «Ядерная физика», 1965, т. 1, с. 853.
- Ahrens T., Lang T. «Phys. Rev. C.», 1971, v. 3, p. 973.
- Петросянц А. М. и др. АЭ, 1971, т. 31, с. 315.

Способ повышения эффективности фотохимического разделения изотопов

БАСОВ Ю. Г., МАКАРОВ В. Н.

Фотохимическое разделение изотопов может быть осуществлено с помощью источников света с линейчатым, сплошным или монохроматическим излучением. Для разделения стабильных изотопов водорода используют линейчатое излучение ртутной лампы низкого давления [1] и сплошное излучение дейтериевой лампы [2]. В работе [3] теоретически показаны возможности эффективного разделения изотопов при помощи монохроматического излучения. Экспериментальное разделение стабильных изотопов водорода монохроматическим лазерным излучением описано в работах [4, 5]. В [4] смесь метанола, брома и дейтериометанола облучали светом химического лазера на смеси фтора с водородом, а в работе [5] формальдегид облучали светом рубинового лазера с удвоением частоты ($\lambda = 347,2 \text{ нм}$). Результаты, полученные в [4, 5], а также данные по разделению изотопов брома с помощью лазерного излучения [6] проанализированы в обзорной работе [7].

Проводятся исследования по селективному возбуждению колебательных уровней молекул инфракрасным лазерным излучением [8]; в результате этих исследований появилась возможность осуществить двухступенную схему селективной фотодиссоциации молекул [9, 10]. Сущность схемы заключается в следующем. Лазерным излучением с определенной длиной волны селективно возбуждается первый колебательный уровень одной изотопной молекулы [10]. Одновременно с этим смесь изотопных молекул облучается вторым источником света (необязательно когерентный и монохроматический) с энергией фотонов, равной разнице между энергией фотодиссоциации и энергией возбуждения первого колебательного уровня молекул. Энергия фотонов этого источника света для непосредственной фотодиссоциации молекул мала. Поэтому селективно распадается только возбужденная молекула, атомы которой взаимодействуют с каким-либо веществом и выводятся из системы.

Ниже рассмотрено применение способа повышения эффективности фотохимического разделения изотопов с помощью газоразрядных источников света на примере стабильных изотопов водорода. На рис. 1 показана произвольная кривая $\varphi_\lambda = f(\lambda)$ — функция спектрального распределения интенсивности излучения газо-

УДК 621.039.3 : 621.039.335

разрядных ламп (φ_λ — интенсивность излучения; λ — длина волны). Вертикальные линии на рисунке расположены на длинах волн квантов света, соответствующих энергиям диссоциации $D_2(\lambda_1)$ и $H_2(\lambda_2)$. Площадь под кривой со стороны более коротких волн до λ_2 характеризует число фотонов Q_H , энергия которых больше энергии диссоциации $H_2(E_H)$, а площадь до λ_1 характеризует число фотонов Q_D , энергия которых больше энергии диссоциации $D_2(E_D)$.

Коэффициент разделения изотопов оценивается известной формулой

$$\alpha = N'_H Q'_D / N'_D Q'_H, \quad (1)$$

где N_H и N_D — число атомов водорода и дейтерия, образованных при диссоциации молекул; N'_H и N'_D — число этих же атомов в непротодиссоциированных молекулах водорода. Величины N_H и N_D можно определить таким образом:

$$N_H = \gamma_H Q_H / E_H; \quad N_D = \gamma_D Q_D / E_D, \quad (2)$$

где γ_H и γ_D — квантовый выход реакции образования атомов водорода и дейтерия.

С учетом (2) коэффициент разделения определяется выражением

$$\alpha = N'_D Q'_H \gamma_H E_D / N'_H Q'_D \gamma_D E_H. \quad (3)$$

Из анализа этой формулы видно, что если с помощью фильтров отсекать ультрафиолетовое излучение с дли-

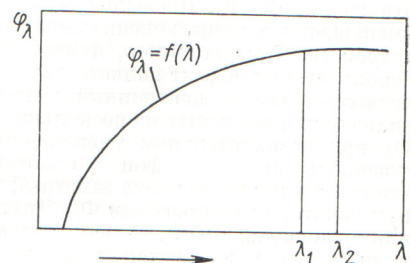


Рис. 1. Иллюстрация к оценке возможностей разделения изотопов с помощью источника света. (Стрелкой показано направление увеличения длины волны.)